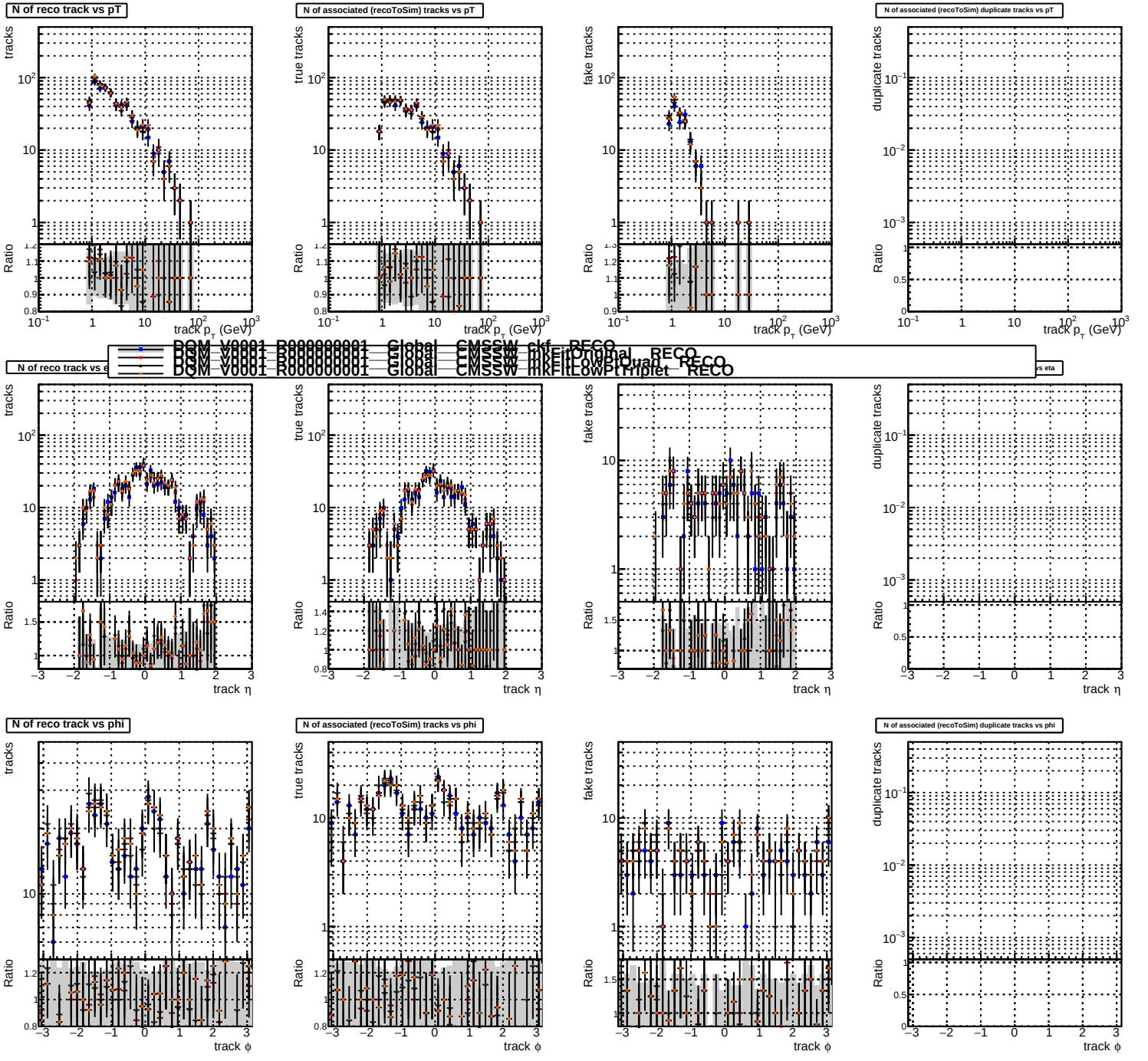
N of reco track vs pT
N of associated (recoToSim) tracks vs pT
N of associated (recoToSim) duplicate tracks vs pT
tracks
true tracks
fake tracks
duplicate tracks
Ratio
track p_T (GeV)
DQM V0001 R000000001 Global CMSSW ckf RECO
DQM V0001 R000000001 Global CMSSW initialStepTrackingRegionsByPtAndEtaContainers RECO
DQM V0001 R000000001 Global CMSSW initialStepSeedLayersPairs RECO
DQM V0001 R000000001 Global CMSSW initialStepSeeds_pixelPair RECO
DQM V0001 R000000001 Global CMSSW initialStepSeeds_cosmics RECO
DQM V0001 R000000001 Global CMSSW initialStepSeedClusterMask RECO
DQM V0001 R000000001 Global CMSSW initialStepSeedLayersTriplets RECO
DQM V0001 R000000001 Global CMSSW initialStepSeedLayersPairsGlobal RECO
DQM V0001 R000000001 Global CMSSW initialStepSeedLayersPairsLocalCosmics RECO
DQM V0001 R000000001 Global CMSSW initialStepSeedLayersPairsLocalCosmicsExtra RECO
DQM V0001 R000000001 Global CMSSW initialStepSeedLayersPairsGlobalCosmics RECO
DQM V0001 R000000001 Global CMSSW initialStepSeedLayersPairsGlobalCosmicsExtra RECO
DQM V0001 R000000001 Global CMSSW initialStepSeedLayersPairsGlobalCosmicsLowPt RECO
DQM V0001 R000000001 Global CMSSW initialStepSeedLayersPairsGlobalCosmicsLowPtExtra RECO
DQM V0001 R000000001 Global CMSSW initialStepSeedLayersPairsGlobalCosmicsLowPtExtraLowPt RECO
DQM V0001 R000000001 Global CMSSW initialStepSeedLayersPairsGlobalCosmicsLowPtExtraLowPtExtra RECO
DQM V0001 R000000001 Global CMSSW initialStepSeedLayersPairsGlobalCosmicsLowPtExtraLowPtExtraLowPt RECO
DQM V0001 R000000001 Global CMSSW initialStepSeedLayersPairsGlobalCosmicsLowPtExtraLowPtExtraLowPtExtra RECO
DQM V0001 R000000001 Global CMSSW initialStepSeedLayersPairsGlobalCosmicsLowPtExtraLowPtExtraLowPtExtraLowPt RECO
DQM V0001 R000000001 Global CMSSW initialStepSeedLayersPairsGlobalCosmicsLowPtExtraLowPtExtraLowPtExtraLowPtExtra RECO
DQM V0001 R000000001 Global CMSSW initialStepSeedLayersPairsGlobalCosmicsLowPtExtraLowPtExtraLowPtExtraLowPtExtraLowPt RECO
DQM V0001 R000000001 Global CMSSW initialStepSeedLayersPairsGlobalCosmicsLowPtExtraLowPtExtraLowPtExtraLowPtExtraLowPtExtra RECO
DQM V0001 R000000001 Global CMSSW initialStepSeedLayersPairsGlobalCosmicsLowPtExtraLowPtExtraLowPtExtraLowPtExtraLowPtExtraLowPt RECO
DQM V0001 R000000001 Global CMSSW initialStepSeedLayersPairsGlobalCosmicsLowPtExtraLowPtExtraLowPtExtraLowPtExtraLowPtExtraLowPtExtra RECO
DQM V0001 R000000001 Global CMSSW initialStepSeedLayersPairsGlobalCosmicsLowPtExtraLowPtExtraLowPtExtraLowPtExtraLowPtExtraLowPtExtraLowPt RECO
DQM V0001 R000000001 Global CMSSW initialStepSeedLayersPairsGlobalCosmicsLowPtExtraLowPtExtraLowPtExtraLowPtExtraLowPtExtraLowPtExtraLowPtExtra RECO
DQM V0001 R000000001 Global CMSSW initialStepSeedLayersPairsGlobalCosmicsLowPtExtraLowPtExtraLowPtExtraLowPtExtraLowPtExtraLowPtExtraLowPtExtraLowPt RECO
DQM V0001 R000000001 Global CMSSW initialStepSeedLayersPairsGlobalCosmicsLowPtExtraLowPtExtraLowPtExtraLowPtExtraLowPtExtraLowPtExtraLowPtExtraLowPtExtra RECO
DQM V0001 R000000001 Global CMSSW initialStepSeedLayersPairsGlobalCosmicsLowPtExtraLowPtExtraLowPtExtraLowPtExtraLowPtExtraLowPtExtraLowPtExtraLowPtExtraLowPt RECO
DQM V0001 R000000001 Global CMSSW initialStepSeedLayersPairsGlobalCosmicsLowPtExtraLowPtExtraLowPtExtraLowPtExtraLowPtExtraLowPtExtraLowPtExtraLowPtExtraLowPtExtra RECO
DQM V0001 R000000001 Global CMSSW initialStepSeedLayersPairsGlobalCosmicsLowPtExtraLowPtExtraLowPtExtraLowPtExtraLowPtExtraLowPtExtraLowPtExtraLowPtExtraLowPtExtraLowPt RECO
DQM V0001 R000000001 Global CMSSW initialStepSeedLayersPairsGlobalCosmicsLowPtExtraLowPtExtraLowPtExtraLowPtExtraLowPtExtraLowPtExtraLowPtExtraLowPtExtraLowPtExtraLowPtExtra RECO
DQM V0001 R000000001 Global CMSSW initialStepSeedLayersPairsGlobalCosmicsLowPtExtraLowPtExtraLowPtExtraLowPtExtraLowPtExtraLowPtExtraLowPtExtraLowPtExtraLowPtExtraLowPtExtraLowPt RECO
DQM V0001 R000000001 Global CMSSW initialStepSeedLayersPairsGlobalCosmicsLowPtExtraLowPtExtraLowPtExtraLowPtExtraLowPtExtraLowPtExtraLowPtExtraLowPtExtraLowPtExtraLowPtExtraLowPtExtra RECO
DQM V0001 R000000001 Global CMSSW initialStepSeedLayersPairsGlobalCosmicsLowPtExtraLowPtExtraLowPtExtraLowPtExtraLowPtExtraLowPtExtraLowPtExtraLowPtExtraLowPtExtraLowPtExtraLowPtExtraLowPt RECO
DQM V0001 R000000001 Global CMSSW initialStepSeedLayersPairsGlobalCosmicsLowPtExtraLowPtExtraLowPtExtraLowPtExtraLowPtExtraLowPtExtraLowPtExtraLowPtExtraLowPtExtraLowPtExtraLowPtExtraLowPtExtra RECO
DQM V0001 R000000001 Global CMSSW initialStepSeedLayersPairsGlobalCosmicsLowPtExtraLowPtExtraLowPtExtraLowPtExtraLowPtExtraLowPtExtraLowPtExtraLowPtExtraLowPtExtraLowPtExtraLowPtExtraLowPtExtraLowPt RECO
DQM V0001 R000000001 Global CMSSW initialStepSeedLayersPairsGlobalCosmicsLowPtExtra